

Superando a Hipótese do Mercado Eficiente Fraca com Redes Neurais Morfológicas Profundas

¹Ya-Sin B. Mghazli, ²Ricardo de A. Araújo e ¹José M. de Seixas

¹Laboratorio de Processamento de Sinais, COPPE/POLI, Universidade Federal do Rio de Janeiro, Rio de Janeiro, RJ, Brasil.

²Laboratório de Inteligência Computacional do Araripe, Instituto Federal do Sertão Pernambucano, Ouricuri, PE, Brasil.

yasin.barcelos@lps.ufrj.br, ricardo.araujo@ifsertao-pe.edu.br, seixas@lps.ufrj.br

Abstract—Neste trabalho será apresentado uma análise da eficácia de modelos de previsão a partir do uso de técnicas de pré-processamento em séries temporais financeiras, tendo como objetivo superar a hipótese do mercado eficiente fraco, na qual os preços das ações refletem todas as informações disponíveis sobre o seu fenômeno gerador. Os resultados obtidos mostram que o uso de redes neurais morfológicas profundas combinadas um pré-processamento adequado pode aumentar significativamente a precisão da previsão no caso particular de séries temporais financeiras. Esses achados têm implicações importantes para aprimorar estratégias de investimento e gerenciamento de riscos para investidores.

Index Terms—Hipótese do Mercado Eficiente Fraco, Séries Temporais Financeiras, Previsão, Mercado de Ações, Redes Neurais Morfológicas Profundas.

I. INTRODUÇÃO

A análise e previsão de séries temporais financeiras são temas recorrentes em estudos acadêmicos, dada a sua importância para decisões de investimento e gestão de riscos [1]. Neste contexto, a previsibilidade dessas séries é frequentemente questionada e debatida, em especial diante da Hipótese do Mercado Eficiente (HME) [2]. Conforme a forma fraca da HME, os preços de ações refletem integralmente todas as informações passadas, o que tornaria inviável a obtenção de retornos acima da média do mercado com base na análise de séries temporais de preços históricos.

Este trabalho propõe-se a contestar tal pressuposto, explorando a possibilidade de superar a forma fraca da HME por meio da aplicação de técnicas para a previsão de séries temporais financeiras [3]. Em particular, o estudo concentra-se na comparação do desempenho de diferentes modelos em relação ao pré-processamento dos dados de entrada.

A motivação deste estudo encontra-se na oportunidade de aprimorar estratégias de investimento e a gestão de riscos [4]. Além disso, visa contribuir para a literatura existente ao oferecer uma análise comparativa da eficácia de distintas abordagens de pré-processamento na previsão de séries temporais financeiras [5].

Assim, os objetivos deste trabalho são: primeiramente, desafiar a forma fraca da HME ao buscar superar o passeio aleatório ao prever séries temporais financeiras utilizando diversos modelos [1]; em segundo lugar, comparar o o impacto do desempenho dos modelos em função do pré-processamento dos dados de entrada [6]. Espera-se que este estudo traga informações valiosas tanto para a comunidade acadêmica, quanto para profissionais do setor financeiro [7].

O presente trabalho foi realizado com apoio da Coordenação de Aperfeiçoamento de Pessoal de Nível Superior — Brasil (CAPES) — Código de Financiamento 001, Conselho Nacional de Desenvolvimento Científico e Tecnológico (CNPq) e Fundação de Amparo à Pesquisa do Estado do Rio de Janeiro (FAPERJ).

II. BACKGROUND

A previsão de séries temporais se baseia na análise de dados históricos para antecipar comportamentos futuros de fenômenos temporais [8]. Padrões regulares nos dados passados auxiliam a compreender a dinâmica da série temporal e fazer previsões precisas. A seleção adequada das defasagens, que capturam a relação temporal entre observações, é essencial para a representação eficaz da série [8].

A janela temporal, um conjunto de observações passadas (conhecidas como retardos temporais), influencia a qualidade da previsão: janelas curtas podem necessitar de informação, enquanto as longas podem conter ruído [7]. A janela temporal é representada por:

$$\mathbf{X}^{(t,w)} = x_t, x_{t-1}, x_{t-2}, \dots, x_{t-w} \quad (1)$$

onde t é o índice temporal e w é o tamanho da janela.

O desafio da previsão de séries temporais é mapear a série histórica em um conjunto de variáveis de entrada e saída, seja por aprendizado de máquina, técnicas estatísticas ou modelos híbridos [7], [9]–[12]. Vários métodos buscam identificar os retardos temporais relevantes para a previsão [13]–[16]. A previsão é comumente representada por:

$$\hat{y}_{t+1:t+h} = f(\mathbf{X}^{(t,w)}) + r_t \quad (2)$$

onde $\hat{y}_{t+1:t+h}$ são os valores futuros, f é a função de previsão, e w é o tamanho da janela temporal. A função $f : \mathbb{R}^w \rightarrow \mathbb{R}^h$ mapeia os pontos do passado $\mathbf{X}^{(t,w)}$. O termo r_t representa ruído, que diminui à medida que w aumenta. Em sistemas completamente determinísticos, esse termo tende a zero quando w excede a dimensão mínima para uma correta caracterização do fenômeno. Assim, a adequação do tamanho da janela temporal e do mapeamento f é crucial para obter previsões precisas [17].

A previsão de séries temporais se classifica em *one-step-ahead* (um passo à frente, $h = 1$) e *multi-step-ahead* (múltiplos passos à frente, $h > 1$). As previsões *one-step-ahead* visam prever o próximo valor da série, enquanto as *multi-step-ahead* buscam prever uma sequência de valores futuros, aumentando a complexidade e pode acarretar maior incerteza nas previsões [18].

A importância da seleção adequada do tamanho da janela temporal e do mapeamento das funções de previsão é indispensável para garantir a precisão dos resultados [1], [7]. Essa escolha deve ser feita com base no conhecimento específico do domínio e na análise cuidadosa das características da série temporal em questão [10]. A aplicação correta desses conceitos pode ajudar a identificar padrões e relações nos dados, permitindo desenvolver modelos de previsão eficientes e adaptados às necessidades específicas de cada contexto [17].

A. Hipótese dos Mercados Eficientes(HME)

A HME diz que o mercado financeiro reflete eficientemente todas as informações disponíveis sobre ações individuais e o mercado na totalidade [19]. Segundo a HME, os preços das ações incorporam todas as informações existentes, impossibilitando superar consistentemente o mercado [20]. Esta teoria pressupõe que os investidores agem racionalmente, processando e integrando rapidamente informações aos preços das ações [20].

A HME engloba três níveis de eficiência de mercado. A eficiência fraca sustenta que os preços dos ativos refletem todas as informações históricas de preços, eliminando ganhos extraordinários através da análise de dados passados [21]. A eficiência semi-forte assegura que os preços dos ativos refletem todas as informações públicas disponíveis. A eficiência forte afirma que os preços dos ativos incorporam todas as informações disponíveis, públicas e privadas, implicando que qualquer nova informação é rapidamente refletida nos preços dos ativos [21]. Portanto, é impossível superar o mercado, mesmo com informações privilegiadas [22].

Críticos citam fatores como comportamento irracional dos investidores, assimetria de informações e influências externas que podem tornar os mercados ineficientes [23]. Argumenta-se que a HME se baseia em suposições simplistas, não considerando a complexidade da realidade dos mercados nem a possibilidade de manipulação de preços por grandes investidores ou instituições financeiras [20].

Diversos estudos testam a HME em mercados variados, como o acionário brasileiro [21], setor de petróleo, gás e biocombustível do Brasil [24], mercados de ações [25] e mercado de criptomoedas [26]. Alguns encontraram evidências de eficiência fraca, enquanto outros demonstraram comportamento incompatível com a eficiência semi-forte [27]. Essas discrepâncias sugerem que a aplicabilidade da HME pode variar conforme o mercado e o período em análise.

A HME e a teoria do passeio aleatório, que sugere que os movimentos de preços dos ativos financeiros são imprevisíveis e aleatórios (uma vez que o comportamento dos preços é influenciado por uma série de fatores aleatórios) [28], são temas amplamente discutidos na literatura financeira.

B. Ajuste de Fase Temporal

Para de solucionar o problema da produção de previsões defasadas temporalmente pelos modelos de redes neurais artificiais foi proposto o procedimento de ajuste de fase [8]. Esse processo é composto por dois passos: primeiro apresenta-se um padrão de entrada de retardos temporais x_1, x_2, \dots, x_n ao modelo de previsão para gerar uma saída y_1 , em seguida o padrão de entrada é reorganizado incluindo a saída gerada, formando $y_1, x_1, x_2, \dots, x_{n-1}$, e sendo apresentado ao mesmo modelo de previsão para gerar uma nova saída (y_2). A saída y_2 representa a previsão com a fase ajustada, ou seja, sem o atraso em relação aos valores reais da série temporal [8].

Conforme a Seção II-A a ineficiência ou eficiência de mercado, refletem as informações históricas, públicas ou privadas nas características do fenômeno gerador das séries temporais financeiras. Desta forma, a medida que ocorre o aumento ou diminuição da frequência da série temporal, as propriedades do fenômeno gerador tendem a mudar [29], o que torna necessário uma investigação adicional do procedimento de ajuste de fase em termos da frequência da série.

III. ANÁLISE DAS SÉRIES TEMPORAIS

A dinâmica do mercado de ações global é influenciada por uma infinidade de fatores macroeconômicos, políticos e

socioculturais [30]. Por meio da análise de séries temporais, é possível obter uma compreensão profunda de como esses fatores interagem ao longo do tempo para influenciar os retornos do mercado de ações [5]. Este artigo se propõe a realizar uma análise comparativa das séries temporais dos seguintes índices de ações globais: IBOVESPA (BVSP - Brasil), NASDAQ Composite (IXIC - Estados Unidos), Dow Jones Industrial Average (DJI - Estados Unidos), CAC 40 (FCHI - França), Financial Times Stock Exchange 100 (FTSE - Reino Unido) e DAX Performance Index (GDAXI - Alemanha).

A Tabela I apresenta as estatísticas das séries temporais normalizadas. Cada série possui quantidade de dias úteis variável, devido à origem geográfica dos índices [1].

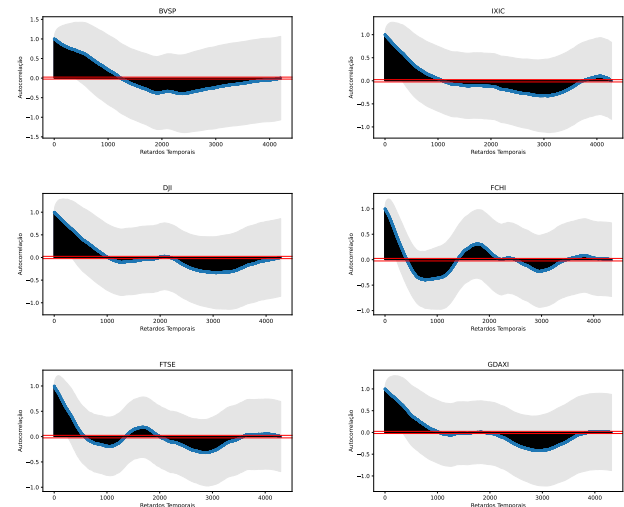
TABELA I: Estatísticas das séries normalizadas.

| Série Temporal | Tamanho | Média | Mediana | Variância | Desvio Padrão | Curtose | Assimetria |
|----------------|---------|--------|---------|-----------|---------------|---------|------------|
| BVSP | 4207 | 0.5044 | 0.5789 | 0.0567 | 0.2381 | -1.3750 | -0.2760 |
| IXIC | 4277 | 0.4105 | 0.3417 | 0.0414 | 0.2036 | -0.4792 | 0.8374 |
| DJI | 4277 | 0.4377 | 0.3743 | 0.0307 | 0.1753 | -0.4539 | 0.7547 |
| FCHI | 4342 | 0.4331 | 0.4171 | 0.0261 | 0.1615 | -0.2882 | 0.5651 |
| FTSE | 4295 | 0.5849 | 0.6189 | 0.0329 | 0.1814 | -0.7634 | -0.4765 |
| GDAXI | 4319 | 0.4444 | 0.4256 | 0.0299 | 0.1728 | -0.4699 | 0.4361 |

De acordo com a Tabela I, a série BVSP apresenta a maior variância e desvio padrão, indicando alta volatilidade. A FCHI tem a menor variância e desvio padrão, sendo a menos volátil [31], [32]. A curtose indica a distribuição dos dados. Neste caso, todas as séries são platicúrticas, com a BVSP tendo a maior curtose, sugerindo uma maior concentração de valores extremos. A avaliação do coeficiente de assimetria permite entender a tendência das séries. A BVSP e a FTSE têm assimetria negativa, indicando potencial tendência de declínio. As demais séries têm assimetria positiva, sugerindo tendência de crescimento [31], [32].

A função de autocorrelação (ACF) [33] é uma ferramenta vital na análise de séries temporais, medindo a interdependência entre observações em diferentes intervalos de tempo. A Figura 1 ilustra autocorrelações significativas nas séries financeiras, com uma autocorrelação positiva nas primeiras 500 defasagens. Este padrão indica uma dependência temporal forte e sugere a existência de padrões temporais persistentes.

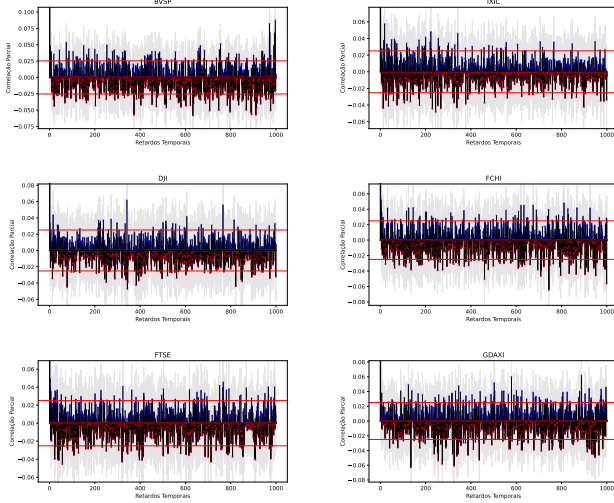
Fig. 1: FAC das séries temporais financeiras



A função de autocorrelação parcial (PACF) [33] avalia o grau de correlação entre os valores de uma série temporal, desconsiderando o efeito de outras variáveis intermediárias [34]. Ao contrário da ACF, que analisa a correlação global, a

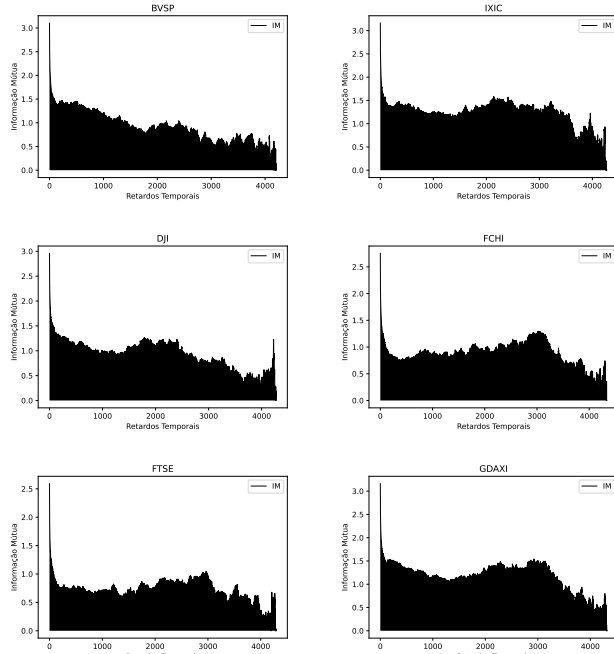
PACF permite a avaliação isolada da correlação entre um valor e um retardo específico [31]. A Figura 2, revela correlações parciais significativas para os primeiros dois lags (k). E há autocorrelações parciais significativas em lags distantes, indicando uma relação direta com pontos mais remotos [1].

Fig. 2: FACP das séries temporais financeiras



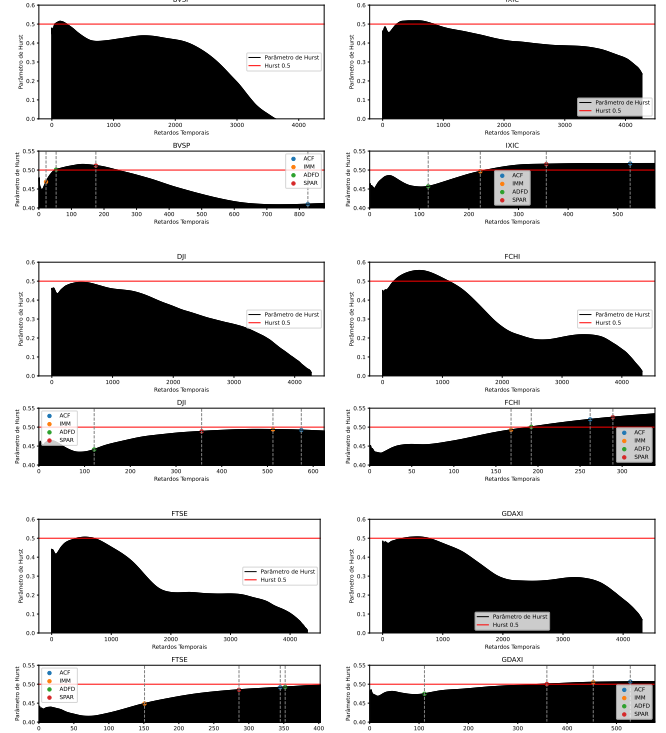
A informação mútua (IM) avalia a dependência mútua entre duas variáveis, indo além da correlação ao detectar relações lineares e não-lineares [35]–[37]. A IM é amplamente aplicada na análise de séries temporais para identificar dependências temporais e descobrir padrões complexos [35]–[38]. Conforme a Figura 3, pode-se confirmar a existência de uma dependência não-linear em todas as séries, pois os valores de IM se mostram consistentemente maiores que 0,7.

Fig. 3: IM das séries temporais financeiras.



O parâmetro de Hurst (HP) [39], é uma ferramenta na análise de séries temporais muito útil na modelagem da volatilidade e na previsão de retornos de ativos financeiros [40]–[42]. Este parâmetro permite a identificação de padrões e tendências de longo prazo, auxiliando na construção de modelos de previsão mais precisos [43]–[45]. A Figura 4, de maneira geral, sugere um comportamento moderado de anti-persistência. Nesse contexto, as variações de preço tendem a ocorrer em torno da média e de maneira imprevisível, reforçando a EMH [28].

Fig. 4: Parâmetro de Hurst das séries temporais financeiras

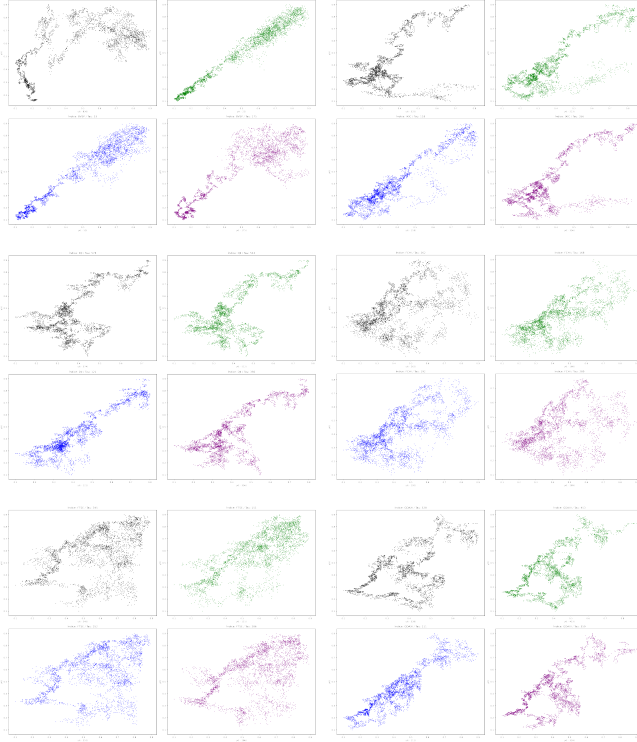


O lagplot, ou gráficos de atraso, são comumente empregados para identificar a presença de autocorrelação e componentes não-lineares. A Figura 5, apresenta o lagplot das séries temporais estudadas. As cores associadas a cada método de análise são: preto para ACF, verde para IMM, azul para ADFD e roxo para SPAR. As séries temporais analisadas parecem divergir de um processo de passeio aleatório, exibindo uma combinação de componentes lineares e não-lineares, com adição de ruído, de acordo com [17]:

$$x_t = \lambda \cdot x_{t-1} + (1 - \lambda) \cdot g(t) + r_t, \quad (3)$$

em que $g(t)$ representa um mapeamento sub-dominante não-linear e r_t é o termo de ruído. Ademais, x_{t-1} simboliza a observação imediatamente precedente a x_t na série temporal.

Fig. 5: Lagplot das séries temporais financeiras



IV. DESCRIÇÃO DO MÉTODO

A. Coleta e Pré-Processamento

Este estudo usa dados históricos com frequência diária no período de 2000 a 2020, avindos do Yahoo! Finance. Os primeiros 80% dos dados foram destinados ao conjunto de treinamento, os (10%) seguintes ao conjunto de validação e os últimos (10%) para o conjunto teste. Foram adotadas duas abordagens para o pré-processamento. A primeira usa dados brutos normalizados entre [0.1, 0.9], o que permite comparar e analisar as variáveis na mesma escala [46]. A segunda abordagem usa dados residuais, transformando em séries de retornos e os normalizando entre [0.1, 0.9], tornando a série estacionária e, portanto, previsível [1]. Foram utilizados testes de raiz unitária para confirmar a estacionariedade de cada série em particular [47]–[49].

Para o horizonte de previsão, foi adotado a previsão de etapa única, onde o modelo prevê o próximo valor na série com base nos valores anteriores. Esta é uma abordagem comum em contextos financeiros, econômicos e de engenharia [10].

B. Configuração dos Modelos

- **ARIMA(p, d, q):** A estrutura do ARIMA é caracterizada por três parâmetros: o número de termos autorregressivos (p), o número de diferenciações (d) e o número de termos de médias móveis (q). A série temporal deve ser estacionária para a aplicação do ARIMA [9], [10].
- **Perceptron Multicamadas (MLP):** A arquitetura do MLP neste estudo consiste em três camadas: uma camada de entrada, uma camada oculta e uma camada de saída. A camada de entrada é configurada pelo número de retardos temporais na série e a camada oculta é responsável por capturar os padrões complexos nos dados [7], [17], [50].
- **RNN de Longa Memória de Curto Prazo (LSTM):** A LSTM usada apresenta uma camada de entrada, duas

camadas ocultas e uma camada de saída. A camada de entrada é definida pelos retardos temporais da série. As duas camadas ocultas, compostas por unidades LSTM, são responsáveis por aprender as dependências temporais nos dados [7], [51].

- **Rede Neural Autoregressiva com Entradas Exógenas (NARX):** A NARX usada neste trabalho apresenta duas linhas de atraso, uma para os sinais de entrada e outra para os sinais de saída. A estrutura é composta por uma camada de entrada, uma camada oculta e uma de saída [7], [50], [52].
- **Perceptron Profundo Crescente-Decrescente Linear (DIDLP):** O DIDLP possui uma arquitetura de camadas profundas com unidades de processamento linear crescente-decrescente. A estrutura inclui uma camada de entrada, duas camadas ocultas e uma camada de saída [12], [53].

C. Seleção de Hiperparâmetros

A seleção de hiperparâmetros é um passo fundamental no desenvolvimento dos modelos. Esses parâmetros não são aprendidos durante o treinamento e incluem o número de camadas em uma rede neural, a quantidade de neurônios em cada camada, a taxa de aprendizagem, o otimizador usado e a função de ativação, dentre outros. A escolha correta dos hiperparâmetros pode impactar significativamente a eficácia do modelo [7], [54], [55].

- **Funções de Ativação:** Foram exploradas diferentes funções de ativação, incluindo ReLU (*Rectified Linear Unit*), Síntese e Tangente Hiperbólica. A função ReLU é conhecida por sua simplicidade computacional e por sua habilidade em mitigar o problema do desvanecimento do gradiente. Já as funções Síntese e Tangente Hiperbólica são comumente usadas devido à sua capacidade de normalizar a saída [7], [56].
- **Número de Neurônios:** O estudo também analisou o impacto do número de neurônios no desempenho dos modelos de rede neural. A primeira camada oculta (H_1) foi avaliada com 5, 10 e 15 neurônios, bem como as heurísticas correspondendo ao tamanho de (w), $w/2$ ou $2w/3$. Para a segunda camada oculta (H_2), foi escolhido um número de neurônios equivalente à metade da primeira camada [7], [50], [57].
- **Batch Size:** Decidiu-se utilizar um tamanho de lote de 1 para o treinamento dos modelos, uma escolha que impacta a eficiência e eficácia do aprendizado. Essa abordagem pode favorecer uma convergência mais lenta e melhor generalização, devido à exposição da rede a uma maior diversidade [7], [58].
- **Taxa de Aprendizagem:** Foram utilizadas duas abordagens para a taxa de aprendizado: A estática (0.01), usada frequentemente como ponto inicial na otimização de modelos [7], e a adaptativa, que começa em 0.01 sendo reduzida em 20% após 20 épocas sem melhorias no conjunto de validação [59].
- **Otimizadores:** Optou-se pelo uso do Adam, eficaz em redes neurais profundas, que proporciona uma convergência rápida e estável [60], e o SGD, que embora possa ter uma convergência mais lenta quando comparado ao Adam, é mais simples e menos sujeito a mínimos locais [58].

D. Treinamento dos Modelos

Neste estudo, os modelos são treinados para compreender a relação entre os dados de entrada e a variável objetivo, visando desenvolver a capacidade de efetuar previsões confiáveis em

dados inexplorados [61]. Diversas configurações de hiperparâmetros são testadas para otimizar o desempenho dos modelos na previsão de séries temporais [54], garantindo a sua capacidade de generalizar a partir do conjunto de treinamento, evitando subajuste e sobreajuste [7].

A função de custo *Mean Squared Error* (MSE) é adotada no treinamento dos modelos neurais para quantificar e minimizar a diferença entre as previsões do modelo e os valores reais, o que é uma prática comum em tarefas de regressão [10]. Ademais, o procedimento de ajuste de fase é implementado para corrigir previsões defasadas temporalmente, um problema comum em redes neurais [8].

Uma estratégia eficaz para lidar com o *overfitting* é a implementação da parada prematura, guiada por três critérios principais: (i) quantidade máxima de épocas de treinamento 10^6 [62], (ii) um aumento na taxa de erro de validação (5%) por mais de 20 épocas [7], [17], e (iii) uma queda mínima no erro de treinamento (10^{-6}) [63].

E. Tamanho da Janela Temporal

São utilizadas quatro metodologias distintas para determinação do tamanho da janela temporal:

- ACF cruza pela primeira vez o valor $1/e$ [64];
- IMM: O primeiro mínimo da informação mútua [35];
- ADFD: 40% da inclinação do deslocamento [65];
- SPAR: $1/3$ da frequência dominante do ciclo [66].

Na Tabela II são apresentados os parâmetros obtidos, para cada série temporal, utilizando as metodologias previamente apresentadas.

TABELA II: Parâmetros para Janelas Temporais

| Metodo Indices | ACF w | IMM w | ADFD w | SPAR w |
|----------------|-------|-------|--------|--------|
| BVSP | 826 | 22 | 53 | 175 |
| IXIC | 525 | 223 | 118 | 356 |
| DJI | 574 | 512 | 121 | 356 |
| FCHI | 262 | 168 | 192 | 289 |
| FTSE | 345 | 151 | 352 | 286 |
| GDAIX | 528 | 453 | 111 | 359 |

F. Medidas para Avaliação de Desempenho.

Avaliar a eficácia de modelos de previsão de séries temporais é crucial para garantir a precisão e confiabilidade dos resultados. Para tal, foram utilizadas diversas medidas de desempenho neste estudo:

- **MSE (Mean Squared Error)**: A média dos quadrados das diferenças entre a previsão e o valor real [10].
- **MAPE (Mean Absolute Percentage Error)**: A média da diferença absoluta percentual entre a previsão e o valor real [67].
- **MAE (Mean Absolute Error)**: A média da diferença absoluta para evitar o efeito de amplificação dos erros pela elevação ao quadrado [68].
- **RMSE (Root Mean Squared Error)**: É a raiz quadrada do MSE, permitindo que os erros sejam interpretados na mesma escala dos valores originais [69].
- **POCID (Percentage of Correct Direction)**: Mede a percentual da previsão que mantém a mesma direção da variação real, independente da magnitude [70].
- **R² (Coeficiente de Determinação)**: Indica o quanto bem o valor previsto se ajusta ao valor real. [71].
- **AVR (Average Variance Ratio)**: Uma medida de teste de eficiência de mercado que compara as variações de preços de ativos em diferentes intervalos de tempo [72].
- **Theil's U1 e U2**: São estatísticas de desigualdade que medem a precisão da previsão em relação ao valor real e quanto próximo está de um passeio aleatório [73].

A fórmula da *Evaluation Function* (EF) é dada por 4 [11]:

$$EF = \frac{\text{POCID}}{1 + \text{MSE} + \text{MAPE} + \text{U2} + \text{AVR}} \quad (4)$$

Vale mencionar que estas medidas foram escolhidas por serem robustas e amplamente aceitas para a avaliação de modelos de previsão de séries temporais.

V. RESULTADOS

Este capítulo é dedicado à apresentação e discussão dos resultados obtidos ao longo do estudo. O desempenho dos modelos aplicados às séries financeiras é examinado. As medidas de avaliação utilizadas, juntamente com os conjuntos de dados de treinamento, validação e teste, são discutidos e interpretados à luz das teorias e conceitos explorados nas seções anteriores.

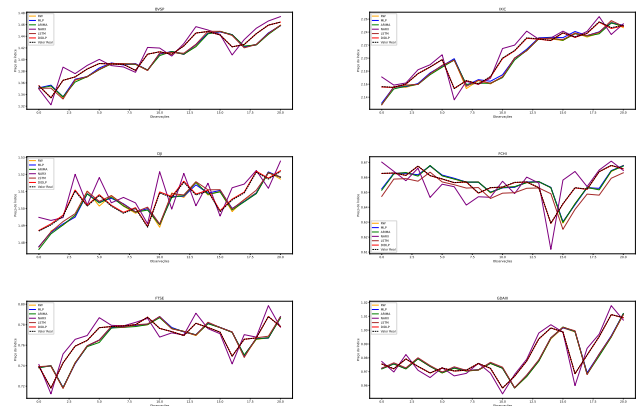
A Tabela III exibe os melhores parâmetros dos modelos, ranks e medidas para os conjuntos de treinamento e validação, com ranks correspondentes à busca em grade para cada conjunto.

A Tabela IV apresenta os resultados obtidos para a análise comparativa realizada neste trabalho. Nela, confrontamos os valores da medida de desempenho (Evaluation Function) entre os conjuntos de dados normalizados e residuais normalizados como entrada para os modelos.

Conforme a Tabela IV os resultados indicam que modelos processados com séries de retornos superam aqueles com dados apenas normalizados, especialmente em séries voláteis. Modelos bem ajustados beneficiam-se mais dos dados residuais, resultando em previsões mais precisas. Isso destaca a relevância da escolha do método de pré-processamento e da qualidade do ajuste na previsão de séries temporais.

A Figura 6 demonstra que os modelos NARX e DIDLP exibem um ajuste de fase adequado. Por outro lado, os demais modelos apresentam uma defasagem na previsão, comportando-se de maneira similar a um passeio aleatório.

Fig. 6: Previsão das séries temporais gerada pelos modelos RW, ARIMA, MLP, NARX, LSTM e DIDLP (últimos pontos do conjunto de teste).



Os resultados alcançados conforme as Tabelas IV e [V-X] sugerem que todos os modelos avaliados exibiram uma notável capacidade de generalização, evidenciada pela consistência das medidas de desempenho nos conjuntos de validação e teste, conseguindo efetivamente evitar o *overfitting*.

Ao analisar a medida de desempenho Theil's U2, observou-se que os modelos ARIMA, MLP e LSTM apresentaram previsões similares a um passeio aleatório, o que pode estar

TABELA III: Melhores Hiperparâmetros

TABELA IV: Comparação da Medida Evaluation Function das Séries Normalizadas e Residuais (conjunto de validação)

| Modelo | Dados | Evaluación Function des Indices | | | | | |
|--------|-------------|---------------------------------|----------------------|-----------------------|----------------------|----------------------|----------------------|
| | | BVSP2 | IIXC | DJI | FCHI | FTSE | GDXA |
| RW | - | 0.24327 | 0.23144 | 0.26724 | 0.24413 | 0.23624 | 0.22687 |
| ARIMA | - | 0.24093 | 0.23179 | 0.24788 | 0.22968 | 0.22404 | |
| MLP | Residual | 2.493e-01 [0.000%] | 2.352e-01 [0.000%] | 2.095e-01 [0.000%] | 2.151e-01 [0.000%] | 2.151e-01 [0.000%] | 2.051e-01 [0.000%] |
| MLP | Normalizada | 2.4948e-01 [10.43%] | 2.4398e-01 [10.43%] | 2.0918e-01 [99.95%] | 2.5149e-01 [0.34%] | 2.5386e-01 [102.02%] | 2.5621e-01 [103.64%] |
| NARX | Residual | 6.679e-01 [100.00%] | 5.272e-01 [100.00%] | 4.178e-01 [100.00%] | 8.2515e-01 [100.00%] | 6.1554e-01 [100.00%] | 7.2381e-01 [100.00%] |
| NARX | Normalizada | 2.4452e-01 [100.00%] | 2.3008e-01 [100.00%] | 2.29104e-01 [100.00%] | 3.4578e-01 [100.00%] | 2.7356e-01 [100.00%] | 2.3582e-01 [100.00%] |
| LSTM | Residual | 2.5116e-01 [100.85%] | 2.3008e-01 [01.06%] | 2.7360e-01 [01.55%] | 2.5333e-01 [03.07%] | 2.4939e-01 [107.20%] | 2.3552e-01 [101.69%] |
| LSTM | Normalizada | 2.5116e-01 [100.85%] | 2.3008e-01 [01.06%] | 2.7360e-01 [01.55%] | 2.5333e-01 [03.07%] | 2.4939e-01 [107.20%] | 2.3552e-01 [101.69%] |
| DIDLP | Residual | 9.951e-01 [10.10%] | 9.9102e-01 [10.17%] | 9.9098e-01 [10.15%] | 9.9196e-01 [02.14%] | 9.7271e-01 [103.16%] | 9.9021e-01 [100.46%] |

TABELA V: Desempenho de previsão dos representantes dos modelos para a série temporal BVSP (conjunto de teste)

| Modelo | Estatística | Medidas de Desempenho | | | | | | | | | |
|----------|-------------|-----------------------|------------|------------|------------|------------|----------------|------------|------------|------------|------------|
| | | MSE | MAPE | MAE | RMSE | PCCD | R ₂ | AVR | Haus U1 | Haus U2 | EI |
| RW | Mean | 5.3826e-04 | 1.338e-02 | 1.5372e-02 | 2.3300e-02 | 4.8550e-01 | 9.6716e-01 | 3.2357e-02 | 9.4483e-03 | 1.0000e+00 | 2.2306e-01 |
| | ARIMA | 5.3826e-04 | 1.338e-02 | 1.5372e-02 | 2.3300e-02 | 4.8550e-01 | 9.6716e-01 | 3.2357e-02 | 9.4483e-03 | 1.0000e+00 | 2.2306e-01 |
| MLP | Mean | 3.4365e-02 | 1.3506e-02 | 1.5352e-02 | 2.4702e-02 | 4.6702e-01 | 9.6726e-01 | 3.2375e-02 | 9.4509e-03 | 1.0000e+00 | 2.2506e-01 |
| | MEDIAN | 4.7584e-02 | 6.2711e-02 | 0.07 | 1.0193e-02 | 1.0602e-03 | 2.8687e-06 | 2.7785e-02 | 4.1674e-07 | 6.5000e-01 | 5.1818e-04 |
| PERC25 | Mean | 3.4365e-02 | 1.3506e-02 | 1.5352e-02 | 2.4702e-02 | 4.6702e-01 | 9.6726e-01 | 3.2375e-02 | 9.4509e-03 | 1.0000e+00 | 2.2506e-01 |
| | PERC25% | 3.4365e-02 | 1.3506e-02 | 1.5352e-02 | 2.4702e-02 | 4.6702e-01 | 9.6726e-01 | 3.2375e-02 | 9.4509e-03 | 1.0003e+00 | 2.2513e-01 |
| LSTM | Mean | 3.9788e-02 | 1.3738e-02 | 1.5352e-02 | 2.4826e-02 | 4.8786e-01 | 9.6749e-01 | 3.2386e-02 | 9.4602e-03 | 9.9463e-01 | 2.2406e-01 |
| | PERC25 | 3.9788e-02 | 1.3738e-02 | 1.5352e-02 | 2.4826e-02 | 4.8786e-01 | 9.6749e-01 | 3.2386e-02 | 9.4602e-03 | 9.9473e-01 | 2.1551e-01 |
| PERC25% | Mean | 3.5367e-02 | 1.3340e-02 | 1.5306e-02 | 2.3168e-02 | 4.5361e-01 | 9.6727e-01 | 3.2367e-02 | 9.4463e-03 | 9.9345e-01 | 2.2168e-01 |
| | PERC975% | 3.5367e-02 | 1.3340e-02 | 1.5306e-02 | 2.3168e-02 | 4.5361e-01 | 9.6727e-01 | 3.2367e-02 | 9.4463e-03 | 9.9345e-01 | 2.2168e-01 |
| NARX | Mean | 3.9802e-02 | 1.1557e-02 | 1.1852e-02 | 1.9427e-02 | 4.8911e-01 | 9.7776e-01 | 2.3370e-02 | 9.4509e-03 | 9.3462e-01 | 6.7878e-01 |
| | PERC25 | 3.9802e-02 | 1.1557e-02 | 1.1852e-02 | 1.9427e-02 | 4.8911e-01 | 9.7776e-01 | 2.3370e-02 | 9.4509e-03 | 9.3462e-01 | 6.7878e-01 |
| PERC975 | Mean | 1.3041e-01 | 2.1497e-02 | 2.4429e-02 | 3.9509e-02 | 4.6682e-01 | 7.4560e-01 | 7.9520e-02 | 1.4613e-02 | 6.3142e-02 | 5.5266e-01 |
| | PERC975% | 1.7122e-01 | 7.7516e-02 | 8.6351e-02 | 1.2905e-02 | 8.5181e-01 | 9.6851e-01 | 0.1006e+00 | 0.2518e-02 | 0.2358e-02 | 5.8412e-01 |
| DIDLPM | Mean | 4.7584e-02 | 2.4880e-02 | 4.9080e-02 | 1.1981e-02 | 9.8761e-01 | 9.7988e-01 | 4.8272e-02 | 1.0295e-02 | 9.7889e-01 | 2.1863e-01 |
| | PERC25 | 4.7584e-02 | 2.4880e-02 | 4.9080e-02 | 1.1981e-02 | 9.8761e-01 | 9.7988e-01 | 4.8272e-02 | 1.0295e-02 | 9.7889e-01 | 2.1863e-01 |
| PERC975% | Mean | 1.2506e-02 | 2.6960e-02 | 3.2857e-02 | 3.4996e-02 | 9.8881e-01 | 9.9931e-01 | 7.1746e-02 | 1.3997e-02 | 5.5285e-01 | 3.7941e-01 |
| | PERC975% | 1.2506e-02 | 2.6960e-02 | 3.2857e-02 | 3.4996e-02 | 9.8881e-01 | 9.9931e-01 | 7.1746e-02 | 1.3997e-02 | 5.5285e-01 | 3.7941e-01 |
| DIDLPM | Mean | 4.7584e-02 | 9.3400e-03 | 1.1490e-02 | 0.03 | 4.8565e-01 | 9.5016e-01 | 4.2866e-02 | 4.4920e-03 | 1.9347e-02 | 2.1683e-01 |
| | PERC25 | 1.2506e-02 | 2.6960e-02 | 3.2857e-02 | 3.4996e-02 | 9.8881e-01 | 9.9931e-01 | 7.1746e-02 | 1.3997e-02 | 5.5285e-01 | 3.7941e-01 |
| PERC975% | Mean | 1.2506e-02 | 2.6960e-02 | 3.2857e-02 | 3.4996e-02 | 9.8881e-01 | 9.9931e-01 | 7.1746e-02 | 1.3997e-02 | 5.5285e-01 | 3.7941e-01 |
| | PERC975% | 1.2506e-02 | 2.6960e-02 | 3.2857e-02 | 3.4996e-02 | 9.8881e-01 | 9.9931e-01 | 7.1746e-02 | 1.3997e-02 | 5.5285e-01 | 3.7941e-01 |

TABELA VI: Desempenho de previsão dos representantes dos modelos para a série temporal IXIC (conjunto de teste)

TABELA VII: Desempenho de previsão dos representantes dos modelos para a série temporal DJI (conjunto de teste)

| Modelo | Estatística | Medidas de Desempenho | | | | | | | | | |
|--------|-------------|-----------------------|------------|------------|------------|------------|----------------|------------|------------|------------|------------|
| | | MSE | MAPE | MAE | RMSSE | POCD | R ₂ | AVR | Hieft U1 | Hieft U2 | EF |
| ARIMA | - | 6.0947e-04 | 1.3245e-02 | 1.4996e-02 | 4.4882e-02 | 4.5336e-01 | 9.5486e-01 | 4.5525e-02 | 9.4806e-03 | 1.0000e+00 | 2.1978e-01 |
| MLP | Mean | 5.8267e-04 | 1.2902e-02 | 1.4701e-02 | 4.2193e-02 | 4.8891e-01 | 9.7500e-01 | 4.3862e-02 | 9.2721e-03 | 9.7272e-01 | 2.3118e-01 |
| MLP | MEAN | 5.7324e-04 | 1.2876e-02 | 1.4899e-02 | 4.1506e-02 | 4.2443e-02 | 5.3828e-01 | 1.0352e-02 | 6.0125e-02 | 7.1766e-04 | 1.2935e-01 |
| MLP | PERC25 | 5.8170e-04 | 1.2074e-02 | 1.4866e-02 | 4.2118e-02 | 4.6356e-02 | 9.5691e-01 | 4.3263e-02 | 9.2645e-03 | 9.7126e-01 | 2.3944e-01 |
| MLP | PERC75 | 5.8170e-04 | 1.2074e-02 | 1.4866e-02 | 4.2118e-02 | 4.6356e-02 | 9.5691e-01 | 4.3263e-02 | 9.2645e-03 | 9.7126e-01 | 2.3944e-01 |
| LSTM | Mean | 5.8771e-04 | 1.3082e-02 | 1.4884e-02 | 4.2083e-02 | 4.7129e-01 | 9.7526e-01 | 4.2996e-02 | 9.2376e-03 | 9.6621e-01 | 2.3310e-01 |
| LSTM | MLP | 3.1206e-06 | 1.3974e-04 | 1.8973e-04 | 6.6785e-05 | 4.2069e-03 | 4.3992e-02 | 4.7781e-02 | 2.7818e-03 | 3.0000e-03 | 2.7730e-03 |
| LSTM | PERC25 | 5.7311e-04 | 1.1942e-02 | 1.4547e-02 | 2.3904e-02 | 4.6579e-01 | 9.5704e-01 | 4.2658e-02 | 9.1926e-03 | 9.6140e-01 | 2.3001e-01 |
| LSTM | PERC75 | 5.7311e-04 | 1.1942e-02 | 1.4547e-02 | 2.3904e-02 | 4.6579e-01 | 9.5704e-01 | 4.2658e-02 | 9.1926e-03 | 9.6140e-01 | 2.3001e-01 |
| NARX | Mean | 4.5252e-04 | 1.0777e-02 | 1.2052e-02 | 3.8797e-02 | 4.8795e-01 | 9.6508e-01 | 4.2472e-02 | 8.1730e-03 | 9.7923e-01 | 2.0301e-01 |
| NARX | MLP | 9.8911e-05 | 1.1980e-02 | 1.4737e-02 | 2.3796e-03 | 1.8240e-02 | 6.8917e-03 | 7.4863e-03 | 9.1377e-04 | 3.7823e-02 | 4.3281e-01 |
| NARX | PERC25 | 2.9638e-05 | 8.7936e-03 | 1.0608e-02 | 1.7996e-02 | 1.8631e-02 | 9.5921e-02 | 2.1501e-02 | 5.5690e-02 | 5.5986e-02 | 5.9146e-01 |
| NARX | PERC75 | 5.5932e-04 | 1.2309e-02 | 1.4887e-02 | 2.3552e-02 | 4.6536e-01 | 9.7962e-01 | 4.3882e-02 | 9.3505e-03 | 4.0936e-01 | 6.9537e-01 |
| DIDPL | MLP | 5.8789e-06 | 1.0506e-03 | 1.3076e-03 | 1.3613e-03 | 3.0176e-03 | 4.0427e-04 | 4.0721e-04 | 5.1345e-04 | 1.9285e-02 | 2.1610e-02 |
| DIDPL | PERC25 | 4.7463e-06 | 2.9456e-06 | 3.8310e-06 | 4.0036e-06 | 9.9805e-04 | 9.9892e-04 | 3.2169e-09 | 1.5504e-04 | 5.6231e-03 | 9.5604e-01 |
| DIDPL | PERC75 | 1.7568e-05 | 2.7466e-05 | 3.3053e-05 | 3.6846e-05 | 9.9802e-04 | 1.0000e+00 | 1.0922e-03 | 1.8484e-03 | 5.5008e-02 | 9.7996e-01 |

TABELA VIII: Desempenho de previsão dos representantes dos modelos para a série temporal FCHI (conjunto de teste)

| Modelo | Estatística | Medidas de Desempenho | | | | | | | | | | | |
|---------|-------------|-----------------------|------------|------------|------------|------------|------------|------------|------------|------------|------------|----|----|
| | | MSE | MAPE | MAE | RMSE | POCD | R2 | AVR | Hits1 | Hits2 | U1 | U2 | EF |
| RW | | 1.762e-04 | 1.506e-02 | 8.623e-07 | 1.375e-02 | 5.16e-01 | 0.9754e-01 | 4.51e-02 | 1.082e-02 | 0.0000e+00 | 5.232e-02 | | |
| ARIMA | Mean | 1.792e-02 | 1.026e-02 | 8.785e-02 | 1.341e-02 | 3.079e-01 | 0.9749e-01 | 2.391e-02 | 0.0945e-02 | 0.1017e+00 | 2.884e-02 | | |
| MLP | RMSE | 2.007e-02 | 6.731e-05 | 6.315e-05 | 4.256e-06 | 2.255e-03 | 2.9137e-05 | 4.141e-02 | 6.4765e-06 | 1.8124e-04 | 1.1119e-03 | | |
| PERM2C | RMSE | 1.699e-01 | 1.026e-02 | 8.672e-02 | 1.341e-02 | 3.079e-01 | 0.9749e-01 | 2.391e-02 | 0.0945e-02 | 0.1017e+00 | 2.884e-02 | | |
| PERC975 | RMSE | 1.738e-02 | 1.562e-02 | 8.604e-06 | 1.331e-02 | 5.171e-01 | 0.9754e-01 | 4.486e-02 | 1.086e-02 | 0.0000e+00 | 5.2351e-02 | | |
| MLP | RMSE | 1.7384e-02 | 6.7314e-05 | 4.3974e-04 | 4.1644e-04 | 2.9943e-04 | 1.9282e-03 | 1.2840e-02 | 3.8175e-04 | 5.3672e-02 | 5.0962e-03 | | |
| LSTM | RMSE | 2.0071e-02 | 6.7314e-05 | 6.3150e-05 | 4.2561e-06 | 2.2551e-03 | 2.9137e-05 | 4.1412e-02 | 6.4765e-06 | 1.8124e-04 | 1.1119e-03 | | |
| PERM2C | RMSE | 2.0071e-02 | 6.7316e-05 | 6.3150e-05 | 4.2561e-06 | 2.2551e-03 | 2.9137e-05 | 4.1412e-02 | 6.4765e-06 | 1.8124e-04 | 1.1119e-03 | | |
| PERC975 | RMSE | 1.7384e-02 | 1.5621e-02 | 8.6040e-06 | 1.3312e-02 | 5.1711e-01 | 0.9754e-01 | 4.4862e-02 | 1.0861e-02 | 0.0000e+00 | 5.2351e-02 | | |
| NARX | RMSE | 2.984e-05 | 2.0285e-03 | 1.148e-03 | 1.6338e-03 | 1.9881e-02 | 3.9977e-03 | 4.1575e-02 | 1.3330e-02 | 5.5802e-02 | 4.6881e-02 | | |
| MLP | RMSE | 9.085e-06 | 1.026e-02 | 8.785e-02 | 1.341e-02 | 3.079e-01 | 0.9748e-01 | 2.391e-02 | 0.0945e-02 | 0.1017e+00 | 2.884e-02 | | |
| PERM2C | RMSE | 7.905e-05 | 1.3922e-02 | 7.7906e-02 | 1.6727e-02 | 3.9857e-01 | 0.9754e-01 | 4.4862e-02 | 1.0861e-02 | 0.0000e+00 | 5.2351e-02 | | |
| PERC975 | RMSE | 3.3922e-05 | 1.3922e-02 | 7.7906e-02 | 1.6727e-02 | 3.9857e-01 | 0.9754e-01 | 4.4862e-02 | 1.0861e-02 | 0.0000e+00 | 5.2351e-02 | | |
| DIDDL | RMSE | 2.9553e-02 | 4.5562e-04 | 2.8032e-04 | 2.6450e-04 | 5.096e-06 | 3.9672e-05 | 3.7900e-02 | 2.1566e-04 | 9.0861e-02 | 1.1369e-02 | | |
| MLP | RMSE | 4.0281e-02 | 5.8042e-04 | 3.4860e-04 | 6.3174e-04 | 9.2912e-05 | 9.9995e-01 | 5.1403e-05 | 5.1485e-04 | 2.1272e-02 | 9.7165e-03 | | |
| PERM2C | RMSE | 3.3922e-05 | 1.3332e-02 | 8.017e-04 | 9.6255e-04 | 9.9805e-05 | 1.0000e+00 | 1.2535e-02 | 5.7846e-04 | 2.1772e-02 | 9.9341e-01 | | |
| PERC975 | RMSE | 3.3922e-05 | 1.3332e-02 | 8.017e-04 | 9.6255e-04 | 9.9805e-05 | 1.0000e+00 | 1.2535e-02 | 5.7846e-04 | 2.1772e-02 | 9.9341e-01 | | |

TABELA IX: Desempenho de previsão dos representantes dos modelos para a série temporal FTSE (conjunto de teste)

| Modelo | Estatística | Modelos de Desempenho | | | | | | | | | |
|--------|-------------|-----------------------|------------|------------|------------|------------|------------|------------|------------|------------|------------|
| | | MSE | MAPE | MAE | RMSE | TOPIC | TOPIC | AVR | Theil's U1 | Theil's U2 | EF |
| RW | - | 1.2234e-04 | 1.6457e-02 | 1.2149e-02 | 1.7955e-02 | 5.9693e-01 | 9.8245e-01 | 1.6555e-02 | 1.0743e-02 | 1.0000e+00 | 2.9311e-01 |
| ARIMA | - | 2.2620e-04 | 1.7415e-02 | 1.2107e-02 | 1.8087e-02 | 5.0198e-01 | 9.8323e-01 | 1.6871e-02 | 1.0806e-02 | 1.0072e+00 | 2.5397e-01 |
| MLP | Mean | 3.2285e-04 | 1.6365e-02 | 1.2077e-02 | 1.7963e-02 | 5.1285e-01 | 9.8341e-01 | 1.6594e-02 | 1.0745e-02 | 9.9795e-01 | 2.2486e-01 |
| | MEDIAN | 3.2367e-04 | 1.6363e-02 | 1.2072e-02 | 1.7963e-02 | 5.1285e-01 | 9.8341e-01 | 1.6594e-02 | 1.0746e-02 | 9.9779e-01 | 2.2526e-01 |
| | PERC25 | 3.2162e-04 | 1.6333e-02 | 1.2053e-02 | 1.7934e-02 | 5.0856e-01 | 9.8355e-01 | 1.6549e-02 | 1.0726e-02 | 9.9572e-01 | 2.4951e-01 |
| LSTM | Mean | 3.9971e-04 | 1.7086e-02 | 1.2040e-02 | 1.9752e-02 | 5.0435e-01 | 9.7991e-01 | 1.9955e-02 | 1.1819e-02 | 1.1055e+00 | 2.2786e-01 |
| | RMS | 3.9971e-04 | 1.7086e-02 | 1.2040e-02 | 1.9752e-02 | 5.0435e-01 | 9.7991e-01 | 1.9955e-02 | 1.1819e-02 | 1.1055e+00 | 2.2786e-01 |
| | PERC25 | 3.9147e-04 | 1.7357e-02 | 1.2614e-02 | 1.9785e-02 | 5.0198e-01 | 9.7987e-01 | 2.0024e-02 | 1.1837e-02 | 1.1736e+00 | 2.2846e-01 |
| | PERC975 | 3.3868e-04 | 1.6635e-02 | 1.2295e-02 | 1.8401e-02 | 4.9452e-01 | 9.7743e-01 | 1.9906e-02 | 1.0351e-02 | 1.0086e-02 | 2.1645e-01 |
| NARX | Mean | 3.9519e-04 | 1.2977e-02 | 9.3255e-03 | 1.3908e-02 | 5.0731e-01 | 9.9020e-01 | 9.9951e-03 | 8.3121e-03 | 3.4141e-01 | 6.0557e-01 |
| | RMS | 3.9519e-04 | 1.2977e-02 | 9.3255e-03 | 1.3908e-02 | 5.0731e-01 | 9.9020e-01 | 9.9951e-03 | 8.3121e-03 | 3.4141e-01 | 6.0557e-01 |
| | PERC25 | 3.1151e-04 | 1.0626e-02 | 7.7923e-03 | 1.1443e-02 | 8.8760e-01 | 9.8804e-01 | 6.6859e-03 | 6.3368e-03 | 2.8290e-01 | 6.3167e-01 |
| | PERC975 | 2.3008e-06 | 1.4460e-02 | 1.5420e-02 | 1.5420e-02 | 5.4237e-01 | 9.3958e-01 | 1.7826e-02 | 1.0583e-02 | 1.0583e-02 | 1.0825e-01 |
| DIDLP | Mean | 6.3645e-06 | 1.6464e-03 | 1.3043e-03 | 1.4722e-03 | 6.5324e-03 | 3.1939e-04 | 3.1919e-04 | 8.8080e-04 | 3.1200e-04 | 3.4904e-02 |
| | RMS | 6.3645e-06 | 1.6464e-03 | 1.3043e-03 | 1.4722e-03 | 6.5324e-03 | 3.1939e-04 | 3.1919e-04 | 8.8080e-04 | 3.1200e-04 | 3.4904e-02 |
| | PERC25 | 1.6105e-08 | 3.5182e-03 | 1.7078e-05 | 1.2553e-04 | 9.8048e-01 | 9.9914e-01 | 8.0822e-07 | 7.5039e-03 | 2.9714e-03 | 8.9812e-01 |
| | PERC975 | 1.7159e-05 | 4.3930e-03 | 3.4553e-03 | 4.1070e-03 | 9.9802e-01 | 1.0000e+00 | 8.6097e-04 | 2.4587e-03 | 8.7073e-03 | 9.9500e-01 |

TABELA X: Desempenho de previsão dos representantes dos modelos para a série temporal GDAXI (conjunto de teste)

| Modelo | Estatística | Modelos de Desempenho | | | | | | | | | |
|--------|-------------|-----------------------|------------|------------|------------|------------|------------|------------|------------|------------|------------|
| | | MSE | MAPE | MAE | RMSE | TOPIC | TOPIC | AVR | Theil's U1 | Theil's U2 | EF |
| RW | - | 2.0077e-04 | 1.0967e-02 | 9.3556e-03 | 1.4115e-02 | 4.8811e-01 | 9.6734e-01 | 3.4097e-02 | 7.9174e-03 | 1.0000e+00 | 2.3559e-01 |
| ARIMA | - | 2.0210e-04 | 1.1012e-02 | 9.3593e-03 | 1.4207e-02 | 4.8811e-01 | 9.6721e-01 | 3.2764e-02 | 7.9741e-02 | 1.0000e+00 | 2.3559e-01 |
| MLP | Mean | 3.9971e-04 | 1.0917e-02 | 9.2804e-03 | 1.4132e-02 | 4.8812e-01 | 9.6709e-01 | 3.2348e-02 | 7.9252e-02 | 1.0000e+00 | 2.3886e-01 |
| | MEDIAN | 3.9972e-04 | 1.0906e-02 | 9.2718e-03 | 1.4132e-02 | 4.8812e-01 | 9.6709e-01 | 3.2335e-02 | 7.9246e-02 | 9.9989e-01 | 2.3886e-01 |
| | PERC25 | 3.9972e-04 | 1.0906e-02 | 9.2718e-03 | 1.4132e-02 | 4.8812e-01 | 9.6709e-01 | 3.2335e-02 | 7.9246e-02 | 9.9989e-01 | 2.3886e-01 |
| LSTM | Mean | 2.0068e-06 | 1.7978e-02 | 9.3399e-03 | 1.4106e-02 | 4.7919e-01 | 9.6744e-01 | 3.2697e-02 | 7.9494e-02 | 1.0026e+00 | 2.4014e-01 |
| | RMS | 2.0068e-06 | 1.7978e-02 | 9.3399e-03 | 1.4106e-02 | 4.7919e-01 | 9.6744e-01 | 3.2697e-02 | 7.9494e-02 | 1.0026e+00 | 2.4014e-01 |
| | PERC25 | 1.9994e-06 | 1.0978e-02 | 9.3377e-03 | 1.4164e-02 | 4.9208e-01 | 9.6745e-01 | 3.2707e-02 | 7.9483e-02 | 1.0026e+00 | 2.4017e-01 |
| | PERC975 | 1.9994e-06 | 1.0978e-02 | 9.3377e-03 | 1.4164e-02 | 4.9208e-01 | 9.6745e-01 | 3.2707e-02 | 7.9483e-02 | 1.0026e+00 | 2.4017e-01 |
| NARX | Mean | 1.5133e-04 | 9.6386e-04 | 8.0177e-03 | 1.2272e-03 | 4.8767e-01 | 9.7676e-01 | 2.4362e-02 | 6.8530e-03 | 3.3624e-01 | 6.1673e-01 |
| | RMS | 1.5133e-04 | 9.6386e-04 | 8.0177e-03 | 1.2272e-03 | 4.8767e-01 | 9.7676e-01 | 2.4362e-02 | 6.8530e-03 | 3.3624e-01 | 6.1673e-01 |
| | PERC25 | 9.4192e-05 | 7.6272e-03 | 6.4699e-03 | 9.7046e-03 | 8.4797e-01 | 9.7105e-01 | 1.5108e-02 | 5.4422e-03 | 3.0802e-01 | 5.7472e-01 |
| | PERC975 | 1.5137e-04 | 1.0897e-03 | 8.0177e-03 | 1.2272e-03 | 4.8767e-01 | 9.7676e-01 | 2.4362e-02 | 6.8530e-03 | 3.3624e-01 | 6.1673e-01 |
| DIDLP | Mean | 3.3803e-06 | 7.7676e-04 | 6.4710e-04 | 1.0735e-03 | 9.8472e-01 | 9.9964e-01 | 3.2711e-04 | 6.0740e-04 | 3.0783e-02 | 9.2325e-01 |
| | RMS | 3.6345e-06 | 9.8599e-04 | 8.6554e-04 | 1.1443e-03 | 1.9425e-02 | 5.5308e-04 | 5.5376e-02 | 6.4112e-02 | 3.5263e-02 | 4.9403e-02 |
| | PERC25 | 1.7017e-10 | 7.3034e-06 | 6.0874e-06 | 1.0817e-05 | 9.4812e-01 | 9.9854e-01 | 6.2162e-08 | 6.9924e-06 | 5.4515e-04 | 8.1698e-01 |
| | PERC975 | 1.0080e-05 | 2.6010e-03 | 2.2876e-03 | 3.1456e-03 | 9.9802e-01 | 1.0000e+00 | 1.5331e-03 | 1.7622e-03 | 6.9131e-02 | 9.9767e-01 |

ligado à falha na construção do mapeamento usado para prever as séries [17]. Neste contexto, conforme a Equação 3 o valor esperado entre x_t e x_{t-1} deve tender a zero, levando a

$$E[x_t] \rightarrow E[\lambda \cdot x_{t-1}] - E[(1 - \lambda) \cdot g(t)] - E[r_t]. \quad (5)$$

Como a componente não-linear é subdominante em relação à componente dominante linear, $\lambda \rightarrow 1$, verifica-se que:

$$E[(1 - \lambda) \cdot g(t)] \rightarrow 0 \quad \therefore \quad E[x_t] \rightarrow E[x_{t-1}]. \quad (6)$$

Em contrapartida, os modelos DIDLP e NARX mostraram superioridade nesse aspecto, com o DIDLP consistentemente destacando-se em desempenho. Embora a NARX não tenha atingido seu desempenho, apresentou melhorias significativas com a utilização de dados residuais, indicando seu potencial de aprimoramento.

VI. CONCLUSÕES

Neste trabalho, analisamos a complexidade da previsão de séries temporais financeiras, ressaltando a necessidade de definir corretamente os retardos temporais e o método de pré-processamento para uma correta reconstrução do fenômeno gerador da série. Notou-se que o melhor método para seleção do retardo temporal varia conforme a natureza dos dados (residual ou normalizado), tipo de série temporal e medida de desempenho almejada.

Este estudo reforça a relevância do pré-processamento de dados para aumento da precisão da previsão. Observou-se que a transformação de dados em séries de retornos aprimora significativamente o desempenho preditivo. Adicionalmente, a qualidade de ajuste do modelo demonstrou ser crucial, indicando que modelos mais eficazes beneficiam-se mais das características intrínsecas dos dados transformados.

Na comparação de desempenho entre modelos, o DIDLP destacou-se de maneira consistente, ultrapassando outros modelos. Sua robustez salienta sua capacidade na previsão de séries temporais financeiras, obtendo resultados otimizados independentemente das mudanças específicas no pré-processamento e na configuração da janela temporal.

Na avaliação da métrica de desempenho Theil's U2, obteve-se uma visão esclarecedora sobre a hipótese dos mercados

eficientes em relação aos modelos testados. Embora os modelos ARIMA, MLP e LSTM tenham mostrado um Theil's U2 abaixo de 1, superando a hipótese do passeio aleatório, seus valores aproximados a este limite sugerem que suas previsões não são substancialmente diferentes de um passeio aleatório. Assim, conclui-se que apenas os modelos NARX e DIDLP superaram verdadeiramente o passeio aleatório.

Embora este estudo apresente descobertas promissoras, reconhece-se a necessidade de uma comparação mais ampla com outros métodos e técnicas já estabelecidas. Diante do progresso acelerado das técnicas de modelagem e aprendizado de máquina, torna-se imprescindível explorar novas estratégias de pré-processamento visando otimizar a precisão das previsões.

REFERENCES

- [1] G. E. Box, G. M. Jenkins, G. C. Reinsel, and G. M. Ljung, *Time Series Analysis: Forecasting and Control*. Hoboken, NJ, USA: John Wiley & Sons, 5th ed., 2015.
- [2] E. F. Fama, "Efficient capital markets: A review of theory and empirical work," *The Journal of Finance*, vol. 25, no. 2, pp. 383–417, 1970.
- [3] R. J. Hyndman and A. B. Koehler, "Another look at measures of forecast accuracy," *International Journal of Forecasting*, vol. 22, no. 4, pp. 679–688, 2006.
- [4] J. C. Hull, *Options, Futures, and Other Derivatives*. Pearson, 10th ed., 2017.
- [5] T. Mills, *Handbook of Econometrics of Financial Markets*. Local da Publicação: Nome da Editora, 2008.
- [6] C. M. Bishop, *Pattern Recognition and Machine Learning*. Springer, 2006.
- [7] I. Goodfellow, Y. Bengio, and A. Courville, *Deep Learning*. MIT Press, 2016.
- [8] T. A. E. Ferreira, G. C. Vasconcelos, and P. J. L. Adeodato, "A new intelligent system methodology for time series forecasting with artificial neural networks," *Neural Processing Letters*, vol. 28, pp. 113–129, 2008.
- [9] G. E. Box and D. R. Cox, "An analysis of transformations," *Journal of the Royal Statistical Society: Series B (Methodological)*, vol. 26, no. 2, pp. 211–252, 1964.
- [10] R. J. Hyndman and G. Athanasopoulos, *Forecasting: Principles and Practice*. Melbourne, Australia: OTexts, 2018.
- [11] R. de A. Araújo, "Swarm-based hybrid intelligent forecasting method for financial time series prediction," *Learning Nonlinear Models*, vol. 5, no. 2, pp. 137–154, 2007.
- [12] G. P. Zhang, "Time series forecasting using a hybrid arima and neural network model," *Neurocomputing*, vol. 50, pp. 159–175, 2003.
- [13] R. Savit and M. Green, "Time series and dependent variables," *Physica D: Nonlinear Phenomena*, vol. 50, pp. 95–116, 1991.
- [14] H. Pi and C. Peterson, "Finding the embedding dimension and variable dependencies in time series," *Neural Computation*, vol. 6, pp. 509–520, 1994.
- [15] F. Takens, "Detecting strange attractors in turbulence," *Lecture Notes in Mathematics*, vol. 898, pp. 366–381, 1981.
- [16] N. Tanaka, H. Okamoto, and M. Naito, "Estimating the active dimension of the dynamics in a time series based on an information criterion," *Physica D: Nonlinear Phenomena*, vol. 158, pp. 19–31, 2001.
- [17] R. de Andrade Araújo, "Mercado de ações brasileiro em alta-frequência: Evidências de sua previsibilidade com modelagem morfológica-linear," 2016.
- [18] S. B. Taieb, G. Bontempi, A. F. Atiya, and A. Sorjamaa, "A review and comparison of strategies for multi-step ahead time series forecasting based on the nn5 forecasting competition," *ArXiv*, vol. abs/1108.3259, 2011.
- [19] B. G. Malkiel, "The efficient market hypothesis and its critics," *Journal of Economic Perspectives*, vol. 17, pp. 59–82, 2003.
- [20] D. C. Cristóvão, M. A. G. Antão, H. M. G. Marques, and M. Peres, "Hipótese dos mercados eficientes (emh). enquadramento e contributo," 2020.
- [21] M. P. D. Silva, P. D. S. Bernardo, K. dos Santos Soares, C. B. Silva, and S. J. de Araújo, "Hipótese do mercado eficiente: Previsibilidade e evidência do mercado acionário brasileiro," 2018.
- [22] L. de Castro Garcia Leão, "Resultados contábeis e preços de ações: a hipótese do mercado eficiente em uma abordagem positiva," 2001.
- [23] E. J. de Área Leão Pereira and A. G. B. da Cruz Utria, "Hipótese dos mercados eficientes vis-à-vis incerteza, convenção e especulação: por uma mudança de paradigma nos mercados financeiros," 2011.
- [24] A. P. F. Freire and P. A. Maia, "A informação contábil e a hipótese do mercado eficiente: um estudo empírico utilizando o setor de petróleo, gás e biocombustível do brasil no período 2006-2009," 2012.
- [25] R. M. T. Dias, P. Heliodoro, N. M. D. Teixeira, and T. Godinho, "Testing the weak form of efficient market hypothesis: Empirical evidence from equity markets," *Journal of Accounting and Finance*, vol. 5, p. 40, 2020.

- [26] H.-J. Kang, S.-G. Lee, and S. Park, "Information efficiency in the cryptocurrency market: the efficient-market hypothesis," *Journal of Computer Information Systems*, vol. 62, pp. 622–631, 2021.
- [27] F. Gabriel, R. B. Ribeiro, and K. C. de Sousa Ribeiro, "Hipóteses de mercado eficiente: Um estudo de eventos a partir da redução do ipi," *Revista de Gestão, Finanças e Contabilidade*, vol. 3, pp. 36–52, 2013.
- [28] E. F. Fama, "Efficient capital markets: A review of theory and empirical work," *The Journal of Finance*, vol. 25, no. 2, pp. 383–417, 1970.
- [29] G. Oh, S. Kim, and C. Eom, "Long-term memory and volatility clustering in high-frequency price changes," *Physica A-statistical Mechanics and Its Applications*, vol. 387, pp. 1247–1254, 2008.
- [30] K. Pilbeam, *Finance and Financial Markets*. Palgrave, 2018.
- [31] P. J. Brockwell and R. A. Davis, *Introduction to Time Series and Forecasting*. New York, NY, USA: Springer, 2 ed., 2002.
- [32] J. D. Hamilton, *Time Series Analysis*. Princeton, NJ: Princeton University Press, 1994.
- [33] G. E. P. Box, G. M. Jenkins, and G. C. Reinsel. Englewood Cliffs, NJ: Prentice Hall, 1994.
- [34] C. Chatfield, "The analysis of time series: an introduction," *Chapman and Hall/CRC*, vol. 6, 2004.
- [35] A. Fraser and H. Swinney, "Independent coordinates for strange attractors from mutual information," *Physical review A*, vol. 33, no. 2, p. 1134, 1986.
- [36] A. Kraskov, H. St'ogbauer, and P. Grassberger, "Estimating mutual information," *Physical review E*, vol. 69, no. 6, 2004.
- [37] B. C. Ross, "Mutual information between discrete and continuous data sets," *PLOS ONE*, vol. 9, no. 2, p. e87357, 2014.
- [38] T. M. Cover and J. A. Thomas, "Elements of information theory," 1991.
- [39] H. E. Hurst, "The long-term storage capacity of reservoirs," *Transactions of the American Society of Civil Engineers*, vol. 116, pp. 770–799, 1951.
- [40] B. Mandelbrot, "The variation of certain speculative prices," *The Journal of Business*, vol. 36, no. 4, pp. 394–419, 1963.
- [41] R. Cont, "Empirical properties of asset returns: stylized facts and statistical issues," *Quantitative finance*, vol. 1, no. 2, pp. 223–236, 2001.
- [42] J.-P. Bouchaud and M. Potters, "Theory of financial risk and derivative pricing: from statistical physics to risk management," *Cambridge University Press*, 2008.
- [43] M. Ausloos and K. Ivanova, "Can one generate an accurate hurst exponent through scaling methods? a discussion," *Physical Review E*, vol. 65, no. 3, p. 036114, 2002.
- [44] T. Di Matteo, "Multi-scaling in finance," *Quantitative Finance*, vol. 7, no. 1, pp. 21–36, 2007.
- [45] D. Grech and Z. Mazur, "Can one make any crash prediction in finance using the local hurst exponent idea?" *Physica A: Statistical Mechanics and its Applications*, vol. 336, no. 1-2, pp. 133–145, 2004.
- [46] A. K. Jain, A. Ross, and S. Pankanti, "Score normalization in multimodal biometric systems," *Pattern recognition*, vol. 38, no. 12, pp. 2270–2285, 2005.
- [47] D. A. Dickey and W. A. Fuller, "Distribution of the estimators for autoregressive time series with a unit root," *Journal of the American Statistical Association*, vol. 74, pp. 427–431, 1979.
- [48] P. C. B. Phillips and P. Perron, "Testing for a unit root in time series regression," *Biometrika*, vol. 75, pp. 335–346, 1988.
- [49] D. Kwiatkowski, P. C. B. Phillips, P. Schmidt, and Y. Shin, "Testing the null hypothesis of stationarity against the alternative of a unit root," *Journal of Econometrics*, vol. 54, pp. 159–178, 1992.
- [50] S. Haykin, *Neural networks: a comprehensive foundation*. Prentice Hall PTR, 1994.
- [51] S. Hochreiter and J. Schmidhuber, "Long short-term memory," *Neural Computation*, vol. 9, pp. 1735–1780, 1997.
- [52] M. Massaoudi, I. Chihí, L. Sidhom, M. Trabelsi, S. S. Refaat, H. Abu-Rub, and F. S. Oueslati, "An effective hybrid narx-lstm model for point and interval pv power forecasting," *IEEE Access*, vol. 9, pp. 36571–36588, 2021.
- [53] R. de A. Araújo, N. Nedjah, A. L. Oliveira, and S. R. de L. Meira, "A deep increasing-decreasing-linear neural network for financial time series prediction," *Neurocomputing*, vol. 347, pp. 59–81, 2019.
- [54] J. Bergstra and Y. Bengio, "Random search for hyper-parameter optimization," *J. Mach. Learn. Res.*, vol. 13, pp. 281–305, 2012.
- [55] F. Hutter, L. Kotthoff, and J. Vanschoren, "Automated machine learning: Methods, systems, challenges," *Springer*, 2019.
- [56] C. Nwankpa, W. Ijomah, A. Gachagan, and S. Marshall, "Activation functions: Comparison of trends in practice and research for deep learning," *arXiv preprint arXiv:1811.03378*, 2018.
- [57] H. T. Jeff, "Introduction to neural networks with java," 2005.
- [58] L. Bottou, "Large-scale machine learning with stochastic gradient descent," in *Proceedings of COMPSTAT'2010*, pp. 177–186, Springer, 2010.
- [59] L. N. Smith, "Cyclical learning rates for training neural networks," *2017 IEEE Winter Conference on Applications of Computer Vision (WACV)*, pp. 464–472, 2017.
- [60] D. P. Kingma and J. Ba, "Adam: A method for stochastic optimization," *arXiv preprint arXiv:1412.6980*, 2014.
- [61] S. Russell and P. Norvig, *Artificial Intelligence: A Modern Approach*. Pearson, 2016.
- [62] Y. Bengio, "Practical recommendations for gradient-based training of deep architectures," in *Neural networks: Tricks of the trade*, pp. 437–478, Springer, 2012.
- [63] C. Bishop, "Training with noise is equivalent to tikhonov regularization," *Neural Computation*, 1995.
- [64] J. Theiler, "Estimating fractal dimension," *Journal of The Optical Society of America A-optics Image Science and Vision*, vol. 7, pp. 1055–1073, 1990.
- [65] M. T. Rosenstein, J. J. Collins, and C. J. De Luca, "Reconstruction expansion as a geometry-based framework for choosing proper delay times," *Physica-Section D*, vol. 73, no. 1, pp. 82–98, 1994.
- [66] J. V. Lyle and P. J. Aston, "Symmetric projection attractor reconstruction: Embedding in higher dimensions," *Chaos*, vol. 31 11, p. 113135, 2021.
- [67] S. Makridakis, S. C. Wheelwright, and R. J. Hyndman, *Forecasting: Methods and Applications*. 2018.
- [68] C. J. Willmott, "Some comments on the evaluation of model performance," *Bulletin of the American Meteorological Society*, vol. 63, no. 11, pp. 1309–1313, 1982.
- [69] T. Choi and R. R. Draxler, "Root mean square error (rmse) or mean absolute error (mae)," *Geoscientific Model Development Discussions*, vol. 7, pp. 1525–1534, 2014.
- [70] M. H. Pesaran and A. Timmermann, "Economic value of predicting stock index returns and volatility," *Journal of Financial Economics*, vol. 54, no. 2, pp. 199–243, 2000.
- [71] G. C. Montgomery, Douglas C. and Runger, *Applied Statistics and Probability for Engineers*. John Wiley Sons, 2012.
- [72] A. W. Lo, "Long-term memory in stock market prices," *Econometrica: Journal of the Econometric Society*, pp. 1279–1313, 1991.
- [73] H. Theil, G. A. C. Beerens, C. D. Leeuw, and C. B. Tilanus, "Applied economic forecasting," 1966.